

- 1 Принцип наименьшего действия**
- 2 Законы сохранения**
- 3 Интегралы движения и задача Кеплера**
- 4 Дифференциальные формы**
- 5 Уравнения Гамильтона**
- 6 Скобки Пуассона**
- 7 Примеры пуассоновых многообразий**

### **7.1 Пуассоновы многообразия: напоминание**

Обратимся теперь к содержательным примерам Пуассоновых многообразий. Поскольку мы уже предъявили скобку пуассона на симплектическом многообразии, то ясно, что любое симплектическое многообразие является Пуассоновым.

- Четномерное евклидово пространство  $\mathcal{M} = \mathbb{R}^{2N}$ . Простейший вариант фазового пространства с канонической симплектической структурой  $\omega = \sum_{j=1}^N dp_j \wedge dq_j$  или скобкой Пуассона  $\{q_i, p_j\} = \delta_{ij}$ , т.е. глобально заданным постоянным пуассоновым бивектором  $\Omega^{ij}$  с матричными элементами  $0, \pm 1$ . Вспомнив именно эту формулу Дирак наконец сформулировал каноническую формулировку квантовой механики, в которой скобки Пуассона *канонических* координат заменяются на коммутаторы, и при этом алгебра функций на фазовом пространстве становится некоммутативной.
- В большой степени все это переносится на кокасательные расслоения  $\mathcal{M} = T^*M$ , и даже на любое симплектическое пространство

$\mathcal{M}_\omega$ . Пуассонов бивектор задается обратной матрицей симплектической формы  $\Omega = \omega^{-1}$ , и все свойства скобки Пуассона выполняются. Главное нетривиальное – соотношение

$$\sum_i (\Omega^{ki} \partial_i \Omega^{nj} + \Omega^{ji} \partial_i \Omega^{kn} + \Omega^{ni} \partial_i \Omega^{jk}) = 0 \quad (1)$$

эквивалентно условию замкнутости  $d\omega = 0$  симплектической формы.

## 7.2 Первый несимплектический пример

Однако можно поставить более общую задачу: найти все нетривиальные решения уравнений Якоби (1) и назвать соответствующие многообразия, оснащенные бивектором  $\Omega^{ij}$  пуассоновыми. Немедленный вопрос: можно ли найти решения не отвечающие симплектическим многообразиям  $\mathcal{M}$ ?

Ответ на этот вопрос дает уже совсем простой пример. Рассмотрим евклидово пространство  $\mathbb{R}^3$  и попытаемся определить на нем скобку Пуассона формулами

$$\begin{aligned} \{x, y\} &= -\{y, x\} = z \\ \{y, z\} &= -\{z, y\} = x \\ \{z, x\} &= -\{x, z\} = y \end{aligned} \quad (2)$$

(вообще в дальнейшем антисимметричность будем подразумевать автоматически!) или

$$\{x_i, x_j\} = \epsilon_{ijk} x_k, \quad i, j, k = 1, 2, 3 \quad (3)$$

с помощью полностью антисимметричного тензора в  $\mathbb{R}^3$ . С помощью “тождества Лейбница” продолжим эти соотношения на все (полиномиальные?) функции на  $\mathbb{R}^3$ , или попросту напишем

$$\{f, g\} = \sum_{i,j,k} \epsilon_{ijk} x_k \partial_i f \partial_j g \quad (4)$$

т.е.  $\Omega^{ij} = \sum_k \epsilon_{ijk} x_k$  является линейной функцией координат. Соотноше-

ния Якоби (1) превращаются в

$$\begin{aligned} \sum_i (\Omega^{ki} \partial_i \Omega^{nj} + \Omega^{ji} \partial_i \Omega^{kn} + \Omega^{ni} \partial_i \Omega^{jk}) &= \\ = \sum_{l,i} x_l (\epsilon_{lki} \epsilon_{inj} + \epsilon_{lji} \epsilon_{ikn} + \epsilon_{lni} \epsilon_{ijl}) &= 0 \end{aligned} \tag{5}$$

которые выполняются в силу тождеств

$$\sum_i (\epsilon_{lki} \epsilon_{inj} + \epsilon_{lji} \epsilon_{ikn} + \epsilon_{lni} \epsilon_{ijl}) = 0 \tag{6}$$

для антисимметричного тензора. Таким образом, мы получили, что

- Евклидово пространство  $\mathbb{R}^3$  является *пуассоновым многообразием* – в наиболее общем смысле этого слова.
- Это пуассоново многообразие *не* является симплектическим, матрица Пуассона бивектора

$$\|\Omega\| = \begin{pmatrix} 0 & z & -y \\ -z & 0 & x \\ y & -x & 0 \end{pmatrix} \tag{7}$$

очевидно вырождена  $\det \Omega = 0$  и имеет  $\text{rank } \Omega = 2$ .

- Легко экспериментально установить и следующий факт: на пуассонов многообразии  $\mathbb{R}^3$  существуют функция Казимира  $C = \sum_i x_i^2 = x^2 + y^2 + z^2$  обладающая свойством

$$\{C, x_i\} = 0, \quad \forall i \tag{8}$$

т.е. которая находится в пуассоновой инволюции с *любой* функцией на  $\mathbb{R}^3$ . Отметим сразу терминологический момент: иногда происходит путаница между функциями Казимира (или “казимирами”) и интегралами движения (или “гамильтонианами”) – последние находятся в инволюции с Гамильтонианом  $\{H_i, H\} = 0$  или в более общем интегрируемом контексте – между собой  $\{H_i, H_j\} = 0$ , но *вовсе не со всеми* функциями на пуассоновом многообразии.

### 7.3 Структура пуассоновых многообразий

Что это означает? Поскольку функция Казимира “является числом”, то посмотрим на ее “линии уровня”

$$C(x) = \sum_i x_i^2 = J^2 \quad (9)$$

представляющие собой семейство концентрических сфер вокруг начала координат в  $\mathbb{R}^3$ . Таким образом, зафиксировав значение функции Казимира мы сядем на некоторое подмногообразие в  $\mathbb{R}^3$ , а меняя ее значения – получим некоторую *стратификацию* пуассонова многообразия.

Легко видеть, что гамильтоновы векторные поля для любой функции  $f \in \text{Fun}(\mathbb{R}^3)$  касательны к линии уровня  $C = J^2$  в силу  $\{C, f\} = 0$ , т.е. значение функции Казимира постоянно вдоль любых гамильтоновых потоков. Таким образом можно ограничить гамильтонову динамику на такие подмногообразия. Более точно теорема Ли говорит о том, что любое Пуассоново многообразие допускает стратификацию на *симплектические листы*. Пуассонову структуру в  $\mathbb{R}^3$  можно ограничить на подмногообразие  $\mathcal{M}_J \subset \mathbb{R}^3$ , очевидно, что  $\dim \mathcal{M}_J = 2$ .

В данном случае это сделать совсем легко, достаточно переписать одно из соотношений (2), например  $\{x, y\} = z$  в сферических координатах (для простоты  $J = 1$ )

$$\begin{aligned} x &= \sin \theta \cos \phi, & y &= \sin \theta \sin \phi, & z &= \cos \theta \\ \left( \frac{\partial x}{\partial \theta} \frac{\partial y}{\partial \phi} - \frac{\partial x}{\partial \phi} \frac{\partial y}{\partial \theta} \right) \{ \theta, \phi \} &= \{x, y\}|_{J=1} = z|_{J=1} = \cos \theta \end{aligned} \quad (10)$$

Вычисляя левую часть получим

$$\{ \theta, \phi \} = \frac{1}{\sin \theta} \quad (11)$$

т.е.  $\mathcal{M}_J$  является симплектическим многообразием с невырожденной замкнутой 2-формой  $\omega = \sin \theta d\phi \wedge d\theta$ .

*Задача:* Провести эту процедуру, называемую гамильтоновой редукцией, научным образом.

*Замечание:* На формулу (6) можно смотреть как на тождество для структурных констант алгебры Ли  $\mathfrak{g} = so_3$  вращений трехмерного пространства. Формулы последних двух разделов имеют естественное обобщение, называемое конструкцией Кириллова-Костанта.

Вместо евклидова пространства  $\mathbb{R}^3$  в общем случае имеется векторное пространство двойственной алгебры Ли – линейных функционалов на  $\mathfrak{g}$

$$\mathfrak{g}^* \simeq \mathbb{R}^{\dim \mathfrak{g}} \quad (12)$$

на котором коммутационные соотношения в алгебре Ли

$$[t_i, t_j] = \mathfrak{f}_{ijk} t_k, \quad i, j, k = 1, \dots, \dim \mathfrak{g} \quad (13)$$

задают скобку Пуассона, естественным образом записанную на образующих  $\langle x_i, t_j \rangle = \delta_{ij}$  как

$$\{x^i, x^j\} = \mathfrak{f}_{ijk} x_k, \quad i, j, k = 1, \dots, \dim \mathfrak{g}^* \quad (14)$$

Для этой скобки можно проверить все свойства пуассоновости, тождество Якоби будет автоматически выполняться из-за соотношения на структурные константы, обеспечивающие тождество Якоби для алгебры Ли  $\mathfrak{g}$ . Менее тривиальным утверждением является то, что симплектические листы являются орбитами ко-присоединенного действия группы  $G$  на  $\mathfrak{g}^*$ .

## 7.4 Сфера как фазовое пространство

Обычное фазовое пространство классической теории является кокасательным расслоением  $T^*M$  с симплектической формой

$$\omega = \sum_{j=1}^n dp_j \wedge dq_j, \quad d\omega = 0 \quad (15)$$

где  $n = \dim \mathcal{M}$ ,  $\{q_1, \dots, q_n\}$  - координаты на  $\mathcal{M}$ , а  $\{p_1, \dots, p_n\}$  - координаты в слое. Симплектической форме (15) отвечает скобка Пуассона  $\{q_i, p_j\} = \delta_{ij}$ , естественным образом продолжаемая на функции  $\{f(q, p)\} \in \text{Fun}(T^*M)$ .

Однако для *квантовой* (маленькой!) системы симплектическое фазовое пространство не обязано быть кокасательным расслоением. Мы уже рассмотрели пример простейшего компактного фазового пространства – двумерной сферы

$$\begin{aligned} S^2 : \quad & x_1^2 + x_2^2 + x_3^2 = J^2 \\ & x_1 = J \sin \theta \cos \phi, \quad x_2 = J \sin \theta \sin \phi, \quad x_3 = J \cos \theta \end{aligned} \quad (16)$$

с симплектической формой (теперь ее нормируем!)

$$\omega = \frac{1}{2J^2} \epsilon_{ijk} x_i dx_j \wedge dx_k = \frac{1}{2} J \sin \theta d\theta \wedge d\phi \quad (17)$$

которая в компактном случае должна удовлетворять условию целочисленности

$$\int_{S^2} \omega = 4\pi J \in 2\pi\mathbb{Z} \quad (18)$$

т.е. “спин”  $J$  обязан быть полуцелым.

Откуда берется это условие? Давайте решим какую-нибудь динамическую задачу. Отвечающая (17) скобка Пуассона имеет вид

$$\{x_i, x_j\} = \epsilon_{ijk} x_k, \quad i, j, k = 1, 2, 3 \quad (19)$$

совпадающий со структурой алгебры Ли  $su(2)$

$$[\hat{S}_i, \hat{S}_j] = i\epsilon_{ijk} \hat{S}_k, \quad i, j, k = 1, 2, 3 \quad (20)$$

для операторов вращения или спина, и может рассматриваться как ее классический предел.

Для гамильтониана  $H = -x_3 = -J \cos \theta$  уравнения движения принимают вид

$$\dot{x}_1 = \{x_1, H\} = x_2, \quad \dot{x}_2 = \{x_2, H\} = -x_1, \quad \dot{x}_3 = 0 \quad (21)$$

или, в угловых координатах

$$\dot{\theta} = 0, \quad \dot{\phi} = 1 \quad (22)$$

т.е. он является просто генератором вращений вокруг третьей оси, а решениями уравнений движения являются траектории-“намотки”

$$\begin{aligned} \theta(t) &= \theta_0, & 0 \leq \theta_0 \leq \pi \\ \phi(t) &= \phi_0 + t, & 0 \leq \phi_0 \leq 2\pi \end{aligned} \quad (23)$$

среди которых замкнутые на отрезке времени  $0 \leq t \leq T$  удовлетворяют периодическим граничным условиям

$$\phi(T) = \phi_0 + 2\pi n, \quad n \in \mathbb{Z} \quad (24)$$

На таких траекториях можно определить аналог классического действия

$$S = \int_0^T (\alpha_t - H dt) = J \int_0^T dt \left( (1 - \cos \theta) \dot{\phi} + \cos \theta \right) \quad (25)$$

где  $\alpha_t$  - вычисленная на траектории 1-форма  $\alpha = J(1 - \cos \theta)d\phi$ , такая что  $d\alpha = \omega$ , которая определена, вообще говоря, неоднозначно. Однако если траектория замкнута, то

$$\int_0^T \alpha_t = \oint_{\gamma} \alpha = \int_D \omega \quad (26)$$

где границей диска  $\partial D = \gamma$  является замкнутый контур на сфере. Такой диск можно выбрать двумя способами, но разница сводится к  $\int_{S^2} \omega$  по всей сфере, и поэтому в силу (18) величина  $\exp(i \oint_{\gamma} \alpha)$  уже определена однозначно. В предельном случае, когда траектория стягивается к одному из двух полюсов, уже сам интеграл в (26) равен или нулю, или интегралу по всей сфере, и тогда выбор  $\alpha = J(1 - \cos \theta)d\phi$  обеспечивает его целочисленность.

## 7.5 Пуассоновы многообразия Фока-Гончарова

Это специальный тип пуассоновых многообразий с квадратичной по переменным скобкой Пуассона.

Рассмотрим граф (или *колчан*)  $\Gamma$  - набор  $|\Gamma|$  вершин, соединенных произвольным количеством ориентированных ребер (стрелок). В колчанах данного типа запрещаются только стрелки из любой вершины в себя. Припишем каждой вершине  $I \in \Gamma$  (комплексную или вещественную, точнее – из  $\mathbb{C}^\times$  или  $\mathbb{R}_+$ ) переменную  $x_I$ ,  $I = 1, \dots, |\Gamma|$ , и будем на них смотреть как на некоторой карте  $(\mathbb{C}^\times)^{|\Gamma|}$  пуассонова многообразия. На этих переменных определим *квадратичную* скобку Пуассона по формуле (в которой, естественно, нет никакого суммирования по индексам)

$$\{x_I, x_J\} = \Omega^{IJ}(x) = \varepsilon_{IJ} x_I x_J, \quad I, J = 1, \dots, |\Gamma| \quad (27)$$

где кососимметричная  $\varepsilon_{IJ}$  представляет собой матрицу смежности графа

$$\varepsilon_{IJ} = \#\text{arrows } (I \rightarrow J) - \#\text{arrows } (J \rightarrow I) \quad (28)$$

очевидно, что  $\varepsilon_{IJ} = -\varepsilon_{JI}$ . *Задача:* проверить для (29) тождество Якоби. В принципе в данном контексте в матрице (28) допускаются иногда не только целые (а например – полуцелые) значения.

В формуле (29) *нет* суммирования по  $I, J$ , т.е. в логарифмических переменных

$$\{\log x_I, \log x_J\} = \varepsilon_{IJ}, \quad I, J = 1, \dots, |\Gamma| \quad (29)$$

эта скобка постоянная.

*Примеры:*

- Многообразие Пуассона-Воронова  $\{x_I, x_J\} = 0, \forall I, J$ . Это многообразие очевидно не является симплектическим.
- Простейший нетривиальный граф из двух вершин, соединенных одной стрелкой. Соответствующая скобка  $\{x, y\} = xy$  переходом в логарифмические координаты  $x = e^q$  и  $y = e^p$  превращается в каноническую  $\{q, p\} = 1$ .

Таким образом можно определить Пуассоново многообразие (точнее пока – его карту  $(\mathbb{C}^\times)^{|\Gamma|}$ ), называемое X-кластерным многообразием Фока-Гончарова. Эти многообразия допускают ряд пуассоновых операций, т.е. отображений, сохраняющих пуассонову структуру

- Для любого подграфа  $\Gamma' \subset \Gamma$  можно положить

$$\varepsilon_{IJ'} = 0, \quad \forall I \in \Gamma, \quad \forall J' \in \Gamma' \quad (30)$$

что отвечает просто “забвению” всех вершин графа  $\Gamma$  с переменными  $\{x_{J'}\}, J' \in \Gamma'$ .

- Склейивание двух графов  $\Gamma_1$  и  $\Gamma_2$  путем *отождествления* (части) их вершин  $\Gamma'_1 = \Gamma'_2 = \Gamma'$ , получая новый график

$$\Gamma = \Gamma_1 \cup \Gamma_2 = \Gamma_1 \setminus \Gamma'_1 \cup \Gamma' \cup \Gamma_2 \setminus \Gamma'_2 \quad (31)$$

с переменными  $x_{I_1} = x_{I_1}^{(1)}$  во всех незатронутых вершинах  $I_1 \in \Gamma_1 \setminus \Gamma'_1$ ,  $x_{I_2} = x_{I_2}^{(2)}$  для  $I_2 \in \Gamma_2 \setminus \Gamma'_2$ , и произведениями  $x_{I'} = x_{I'}^{(1)} x_{I'}^{(2)}$

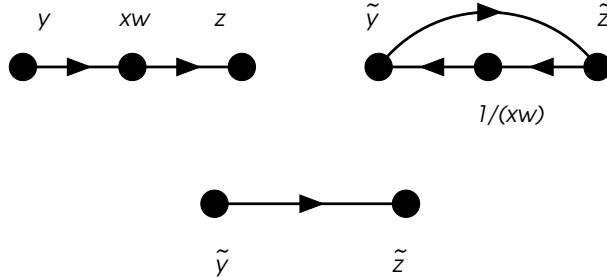


Рис. 1: Пример кластерного преобразования: склейка, а также мутация в склеенной вершине и последующее ее “забвение” порождают групповую структуру на пуассоновых графах определенного типа.

для склеенных  $I' \in \Gamma'$ . Для матрицы смежности склеенного графа (31) можно написать

$$\begin{aligned} \varepsilon_{I_k J} &= \varepsilon_{I_k J}^{(k)}, \quad J \in \Gamma, \quad I_k \in \Gamma_k \setminus \Gamma'_k, \quad k = 1, 2 \\ \varepsilon_{I' J'} &= \varepsilon_{I' J'}^{(1)} + \varepsilon_{I' J'}^{(2)}, \quad I', J' \in \Gamma' \end{aligned} \quad (32)$$

При этом следует избавляться от всех стрелок типа  $\circlearrowleft$ .

Наконец, важнейшим пуассоновым преобразованием являются мутации, которые можно производить в каждой из вершин графа  $\Gamma$ .

- Пуассонова структура (29) сохраняется при *мутациях* графа и соответствующих преобразованиях  $x$ -переменных

$$\mu_J : x_J \rightarrow \frac{1}{x_J}, \quad x_I \rightarrow x_I \left(1 + x_J^{\text{sgn}(\varepsilon_{IJ})}\right)^{\varepsilon_{IJ}}, \quad I \neq J \quad (33)$$

которые позволяют распространить скобку пуассона с данной карты на все кластерное многообразие. При этом

$$\epsilon_{IK} \mapsto \epsilon_{IK} + \frac{\epsilon_{IJ}|\epsilon_{JK}| + \epsilon_{JK}|\epsilon_{IJ}|}{2} \quad (34)$$

что легче пояснить “словами” на операциях с графиками.

Пример пуассоновых преобразований приведен на картинке 1.

- Consider a multiplication  $(y \rightarrow x) \cdot (w \rightarrow z) = y \rightarrow xw \rightarrow z$ , according to the gluing rule.
- After mutating at the intermediate point, the variables according to (33) transform as

$$xw \rightarrow \frac{1}{xw}, \quad y \rightarrow y(1 + xw) = \tilde{y}, \quad z \rightarrow z \left(1 + \frac{1}{xw}\right)^{-1} = \tilde{z} \quad (35)$$

which corresponds to the second graph from fig. 1, with an extra arrow between  $\tilde{y}$  and  $\tilde{z}$  reflecting, that

$$\begin{aligned} \{\tilde{y}, \tilde{z}\} &= \left\{ y(1 + xw), z \left(1 + \frac{1}{xw}\right)^{-1} \right\} = \\ &= (1 + xw)z \left\{ y, \left(1 + \frac{1}{xw}\right)^{-1} \right\} + y \left(1 + \frac{1}{xw}\right)^{-1} \{(1 + xw), z\} = \\ &= yxwz = \tilde{y}\tilde{z} \end{aligned} \quad (36)$$

- Forgetting the intermediate vertex, as at fig. 1, one gets the original graph  $\tilde{y} \rightarrow \tilde{z}$  but with the new variables in the vertices.

Какую мы получили группу?

*Ответ:* The simplest graph  $y \rightarrow x$  corresponds to the subgroup of upper-triangular matrices in  $SL(2)$  or  $PGL(2)$  (sometimes it is easier just to forget about the determinant). More strictly, consider it as a short-hand notation for

$$y \xrightarrow{E} x = YEX = \begin{pmatrix} y & 0 \\ 0 & 1 \end{pmatrix} \begin{pmatrix} 1 & 1 \\ 0 & 1 \end{pmatrix} \begin{pmatrix} x & 0 \\ 0 & 1 \end{pmatrix} = \begin{pmatrix} yx & y \\ 0 & 1 \end{pmatrix} \quad (37)$$

with the matrix in r.h.s. considered as an element of  $PGL(2)$ .

The rule to get them exactly corresponds to

$$\begin{aligned} \left(y \xrightarrow{E} x\right) \cdot \left(w \xrightarrow{E} z\right) &= \begin{pmatrix} yx & y \\ 0 & 1 \end{pmatrix} \begin{pmatrix} wz & w \\ 0 & 1 \end{pmatrix} = \begin{pmatrix} yxwz & y(1 + xw) \\ 0 & 1 \end{pmatrix} = \\ &= \begin{pmatrix} \tilde{y}\tilde{z} & \tilde{y} \\ 0 & 1 \end{pmatrix} = \tilde{Y}E\tilde{Z} = \tilde{y} \xrightarrow{E} \tilde{z} \end{aligned} \quad (38)$$

multiplication of the upper-triangular matrices.

Примерами пуассоновых кластерных многообразий являются группы Ли и пространства Тейхмюлера. Приведенным рассуждением мы продемонстрировали идею того, как кластерные координаты задаются на пуассоновых подмногообразиях в группах Ли.